

Wstęp do obliczeń kwantowych

Paweł Szumniak

Wydział Fizyki i Informatyki Stosowanej Akademia Górniczo-Hutnicza w Krakowie

Historia

- **1970s quantum information theory**
- Alexander Holevo ($n > n$) , Charles H. Bennett (reversibly), R. P. Poplavskii (infeasibility)
- **Stanisław Ingarden** publishes a seminal paper entitled "Quantum Information Theory" Reports on Mathematical Physics, 10, 43–72, **1976**.
- **1980s**
- **Paul Benioff** - describes quantum mechanical Hamiltonian models of computers
- **Yuri Manin** briefly motivates the idea of quantum computing

- **1981**
Richard Feynman "*it appeared to be impossible in general to simulate an evolution of a quantum system on a classical computer in an efficient way*". He proposes a **basic model for a quantum computer** that would be capable of such simulations

- **1982** Wootters, William; **Zurek, Wojciech (1982)**. "A Single Quantum Cannot be Cloned". Nature. 299 (5886): 802–803.

- **1985 David Deutsch**, describes the **first universal quantum computer**.

- **1994 Peter Shor**, Bell Labs, discovers an very important algorithm that allows a quantum computer to factor large integers quickly. It solves both the factoring problem and the discrete log problem. Shor's algorithm can theoretically break many of the cryptosystems in use today. Its invention sparked a tremendous interest in quantum computers.

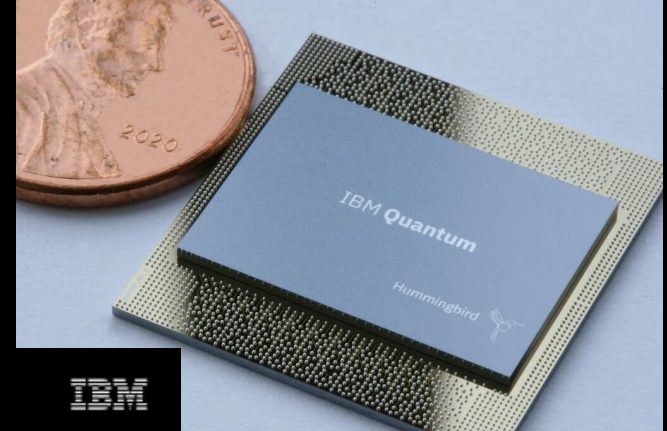
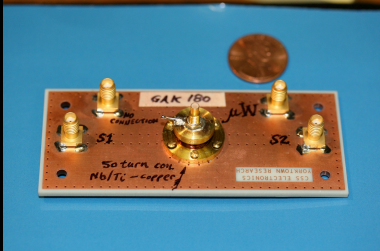
https://en.wikipedia.org/wiki/Timeline_of_quantum_computing_and_communication

Komercyjny komputer kwantowy IBM 2019

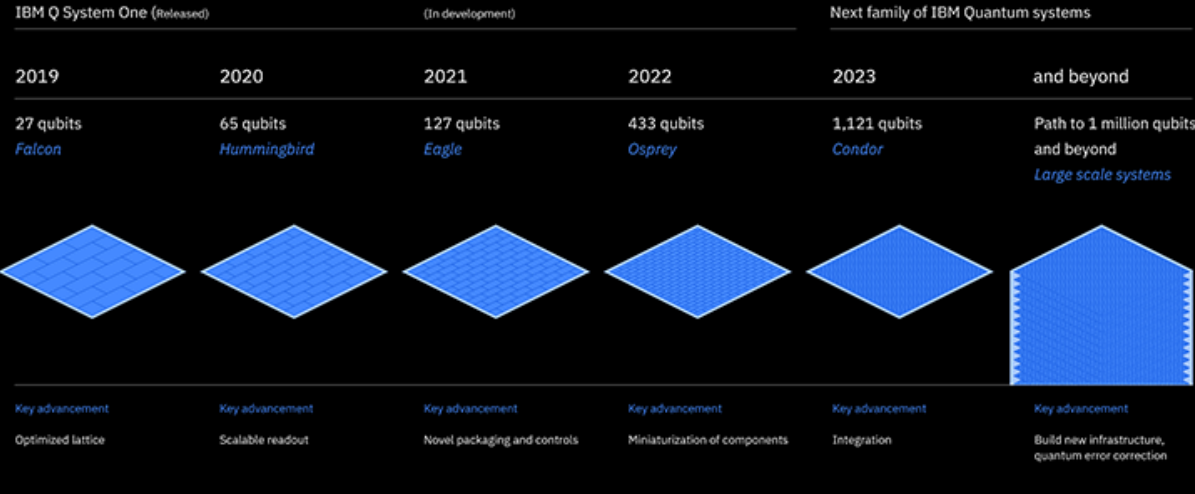


<https://newsroom.ibm.com/2019-01-08-IBM-Unveils-Worlds-First-Integrated-Quantum-Computing-System-for-Commercial-Use>

IBM roadmap



Scaling IBM Quantum technology



$10^3 - 10^4$

$10^6 - 10^8$

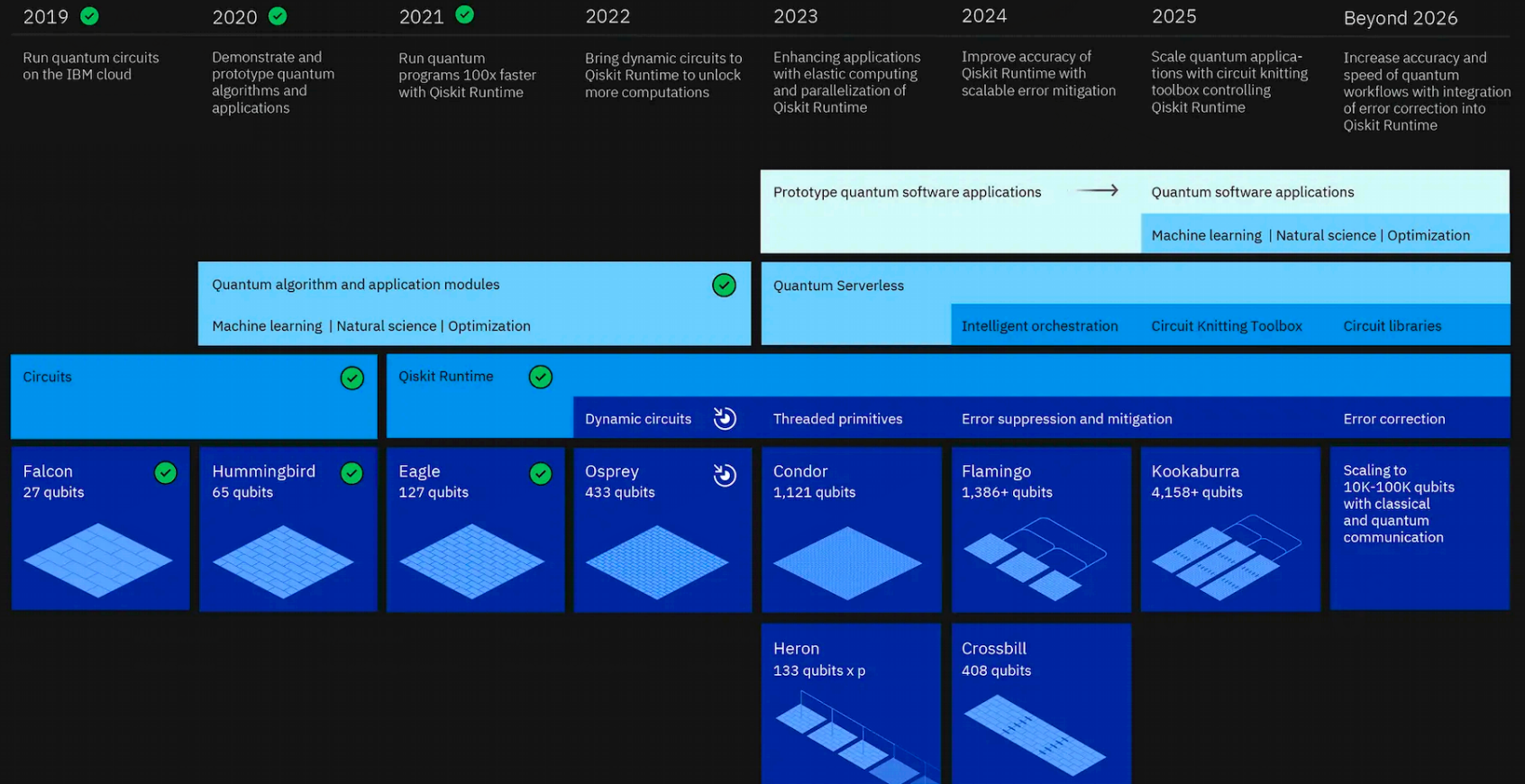
20 million qubits to break RSA 2048, for gate error 10^{-3}

<https://research.ibm.com/blog/ibm-quantum-roadmap>

IBM roadmap

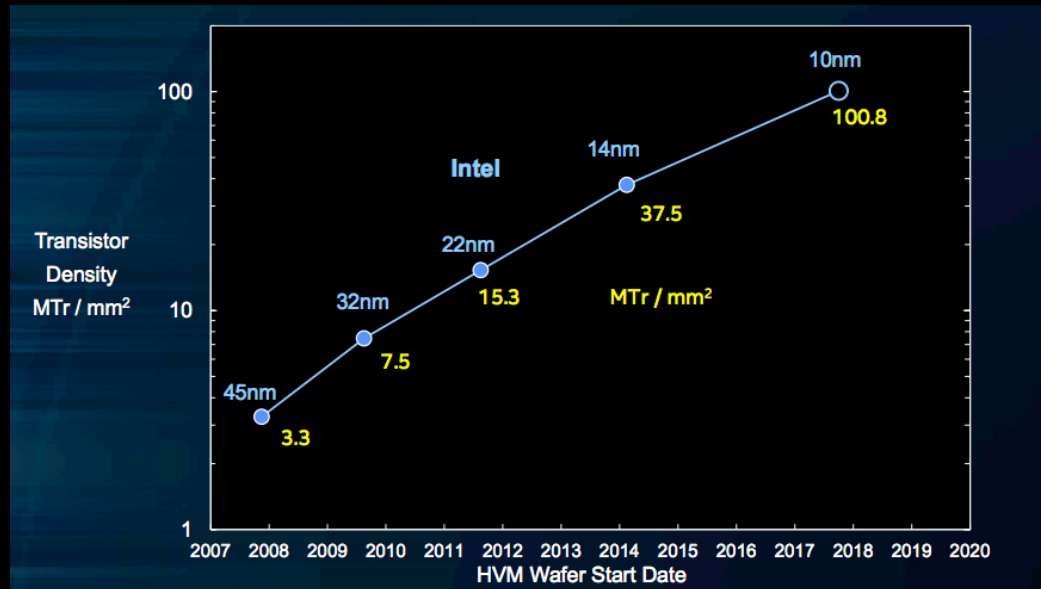
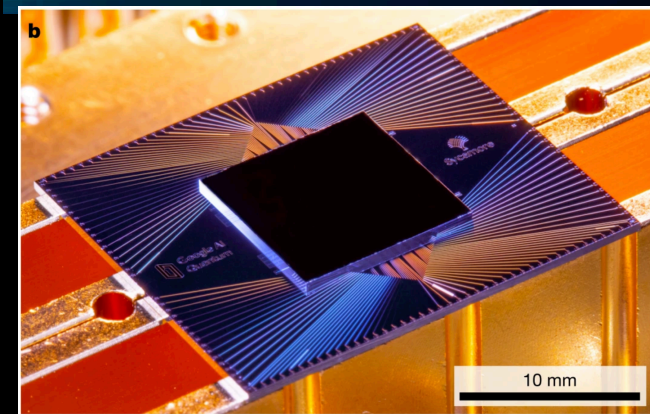
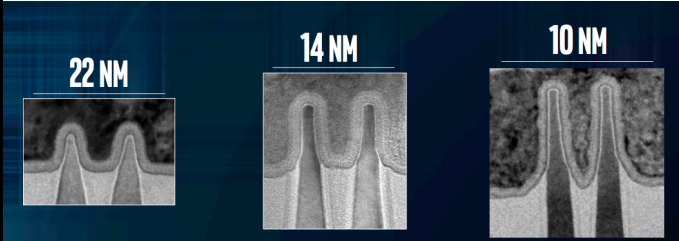
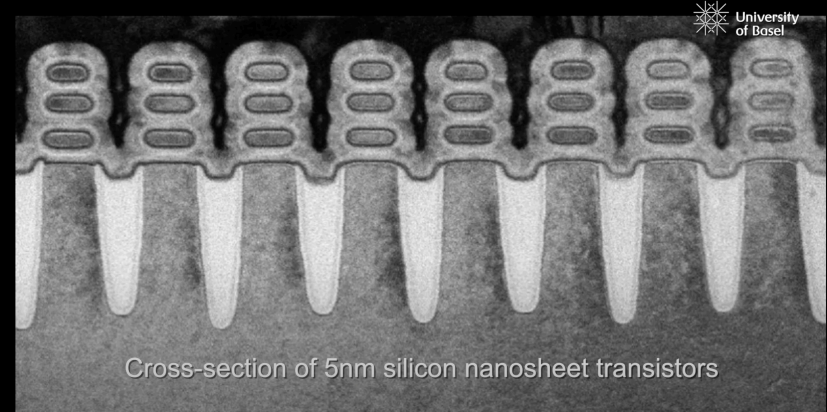
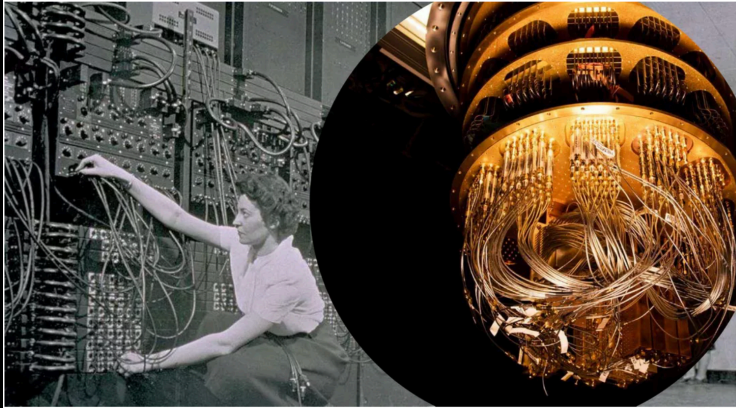
Development Roadmap | Executed by IBM ✓ On target 🔄

IBM Quantum



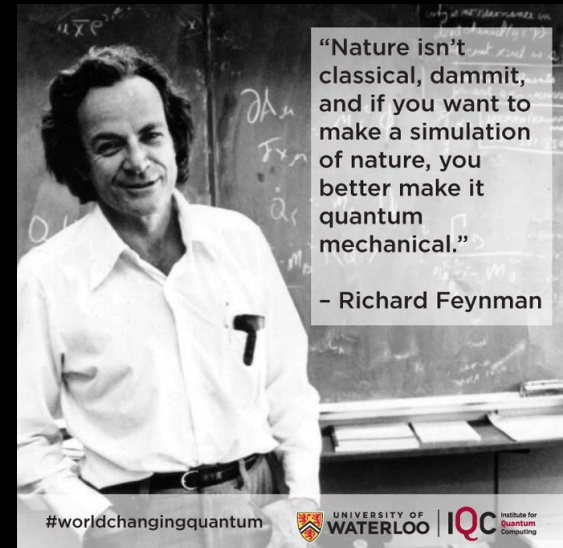
<https://research.ibm.com/blog/ibm-quantum-roadmap-2025>

Technologia: komputery kwantowe vs klasyczne problem skalowalności

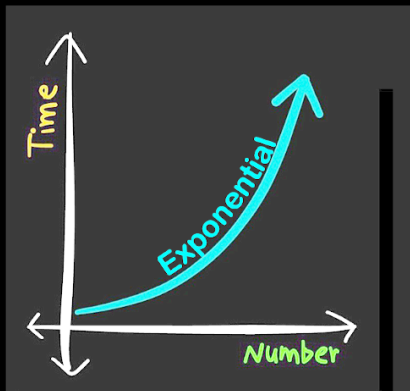


Motywacja

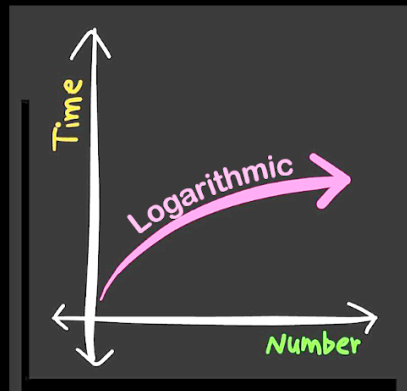
- Symulacja układów (1981 r.) kwantowych (Feynman)
- Łamanie kryptosystemu RSA faktoryzacja liczb pierwszych (QFT) (1994 r.)



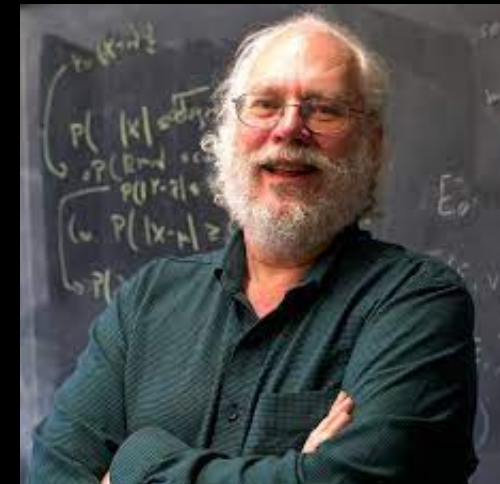
Richard Feynman



CLASSICAL



QUANTUM



Peter Shor

<https://youtu.be/dONacVnW1Ng>

Informatyka kwantowa

- Symulacje kwantowe
- Obliczenia kwantowe
- Kryptografia kwantowa
- Kwantowa metrologia
- Sieci kwantowe i komunikacja kwantowa (Kwantowy Internet)
- Informacja kwantowa – zagadnienia fundamentalne

John Preskill: Ph CS 219A Lecture 1 Introduction (<https://youtu.be/w08pSFsAZvE>)

Industry

QUANTUM COMPUTING MARKET MAP

Quantum Encryption



Hardware



Tractics

Software



Building Quantum Computers



Quantum AI



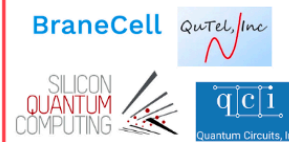
Optical Quantum Computers



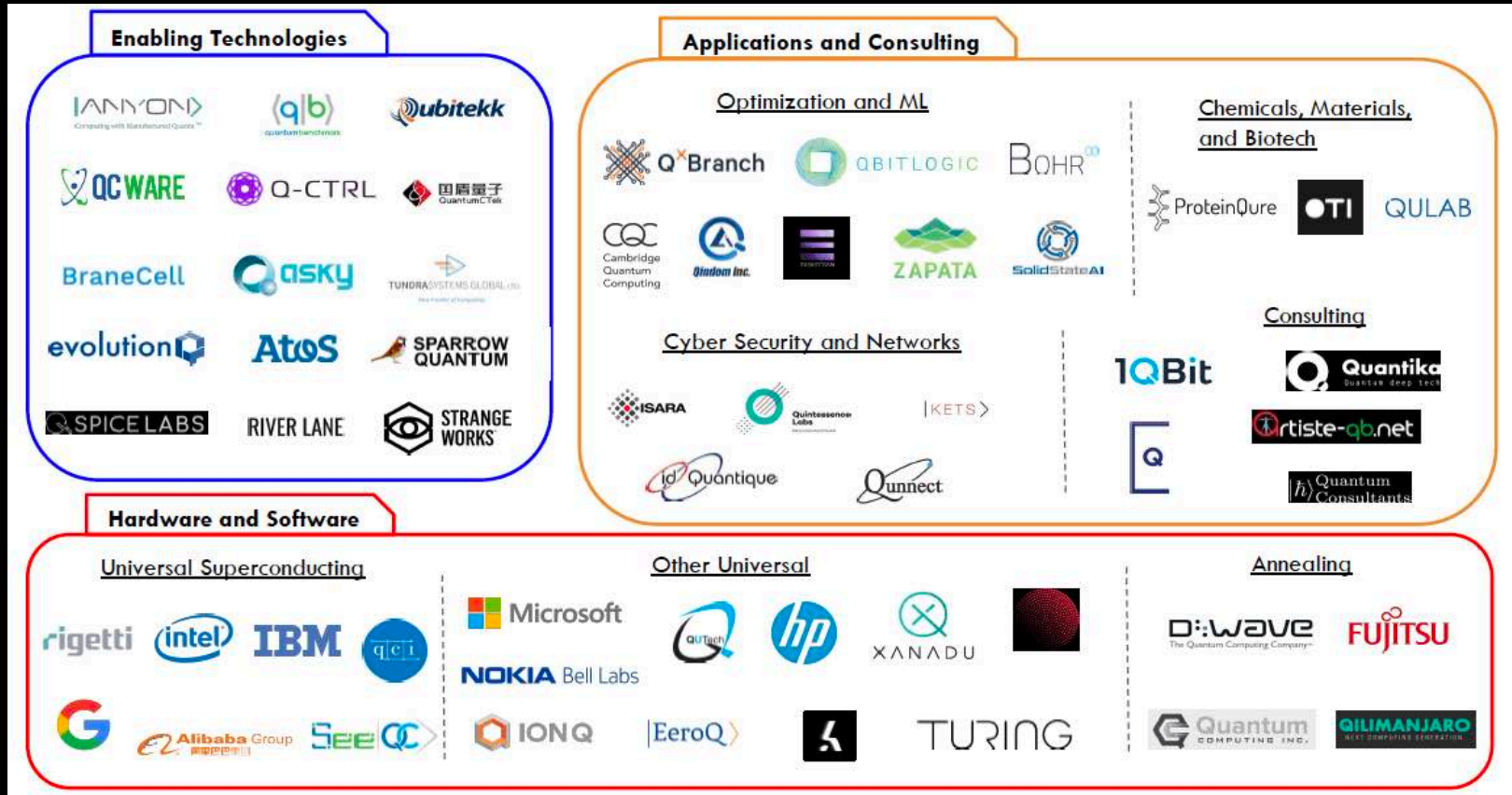
Quantum Cloud Computing



Quantum Circuits



Industry



Kryteria fizycznej implementacji komputerów kwantowych: DiVincenzo (2000)

1. **Skalowalny** układ fizyczny z dobrze zdefiniowanymi kubitami

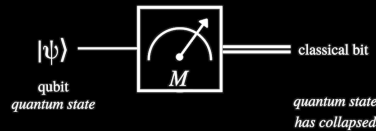
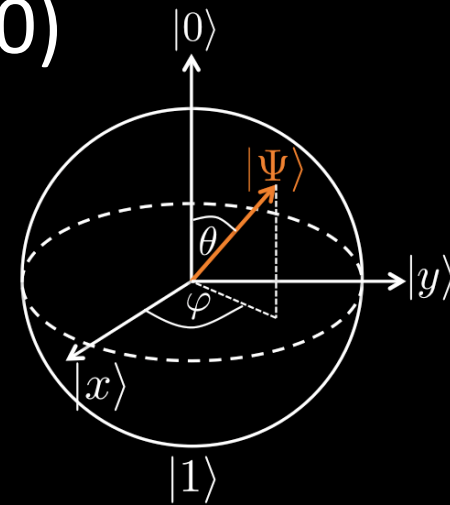
2. Możliwość ustawiania stanów kubitów na początku algorytmu kwantowego w precyzyjnym stanie (**inicjalizacja**) $|0\rangle^{\otimes N} = |0 \dots 0\rangle$

3. **Długie czasy koherencji**

(w porównaniu z czasami działa bramek kwantowych)

4. Uniwersalny zestaw **bramek kwantowych** $\hat{U}(t, t_0) = \exp \left[-\frac{i}{\hbar} \int_{t_0}^t dt' \hat{H}(t') \right]$

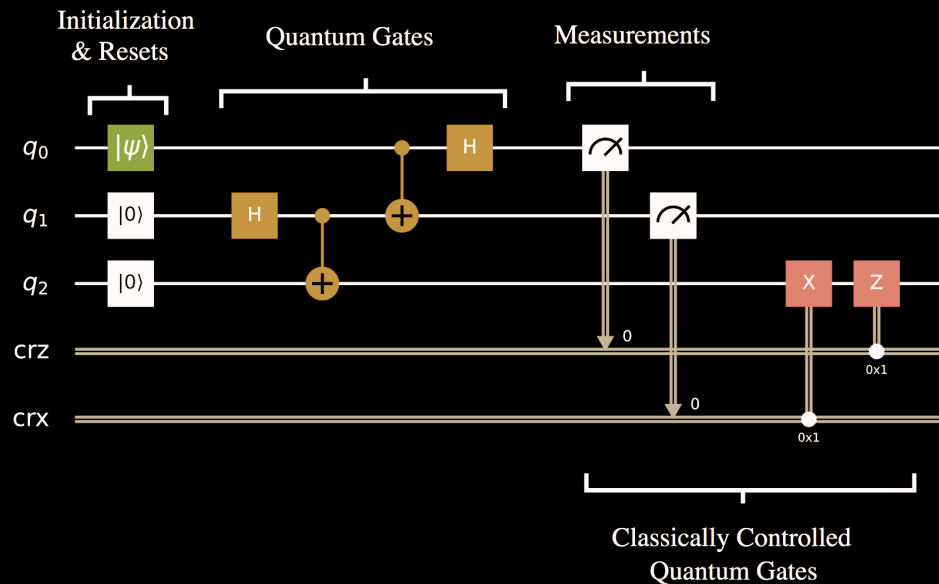
5. Musi istnieć wydajna procedura służąca do **pomiaru** stanu kubitów na końcu realizacji zadanego algorytmu kwantowego



Pozostałe dwa kryteria konieczne do realizacji kwantowej komunikacji

1. Możliwość konwertowania informacji kwantowej ze stacjonarnych kubitów do mobilnych kubitów

2. Możliwość przesyłania mobilnych kubitów między zadanymi miejscami

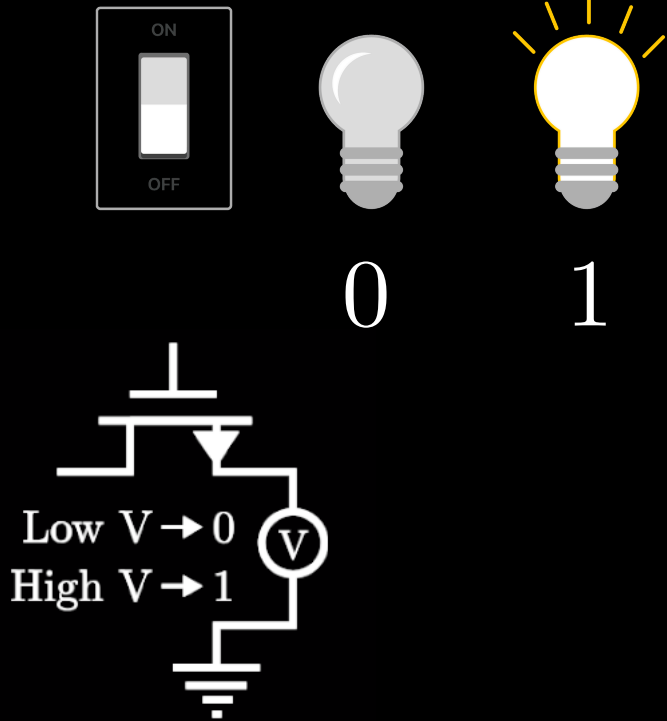


Quantum

Classically Controlled Quantum Gates

Jednostka informacji kwantowej – Bit kwantowy

Bit klasyczny



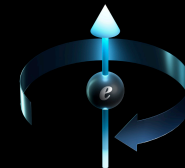
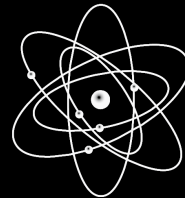
Bit kwantowy - kubit

$$|\Psi\rangle = \alpha_0 |0\rangle + \alpha_1 |1\rangle$$

$$\alpha_0, \alpha_1 \in \mathbb{C} \quad |\alpha_0|^2 + |\alpha_1|^2 = 1$$

$$|\Psi\rangle \sim e^{i\varphi} |\Psi\rangle \quad \hat{H}|\Psi\rangle = E|\Psi\rangle$$

$$E_1 \text{ ————— } |1\rangle = |\downarrow\rangle = \begin{pmatrix} 0 \\ 1 \end{pmatrix}$$



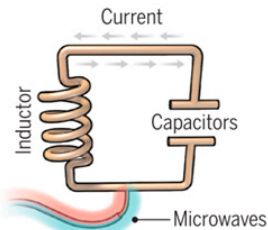
$$E_0 \text{ ————— } |0\rangle = |\uparrow\rangle = \begin{pmatrix} 1 \\ 0 \end{pmatrix}$$

N vs 2^N

Fizyczna implementacja

A bit of the action

In the race to build a quantum computer, companies are pursuing many types of quantum bits, or qubits, each with its own strengths and weaknesses.



Superconducting loops

A resistance-free current oscillates back and forth around a circuit loop. An injected microwave signal excites the current into superposition states.

Longevity (seconds)

0.00005

Logic success rate

99.4%

Number entangled

9

Company support

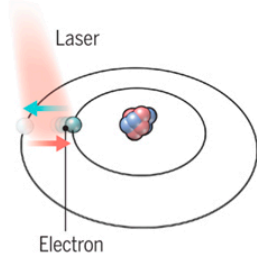
Google, IBM, Quantum Circuits

Pros

Fast working. Build on existing semiconductor industry.

Cons

Collapse easily and must be kept cold.



Trapped ions

Electrically charged atoms, or ions, have quantum energies that depend on the location of electrons. Tuned lasers cool and trap the ions, and put them in superposition states.

>1000

99.9%

14

ionQ

Very stable. Highest achieved gate fidelities.

Slow operation. Many lasers are needed.



Silicon quantum dots

These "artificial atoms" are made by adding an electron to a small piece of pure silicon. Microwaves control the electron's quantum state.

0.03

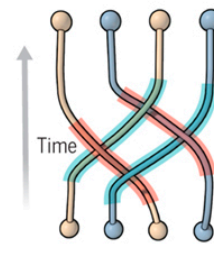
~99%

2

Intel

Stable. Build on existing semiconductor industry.

Only a few entangled. Must be kept cold.



Topological qubits

Quasiparticles can be seen in the behavior of electrons channeled through semiconductor structures. Their braided paths can encode quantum information.

N/A

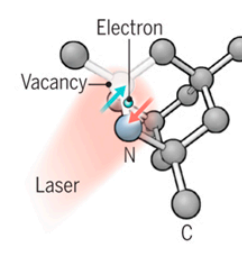
N/A

N/A

Microsoft, Bell Labs

Greatly reduce errors.

Existence not yet confirmed.



Diamond vacancies

A nitrogen atom and a vacancy add an electron to a diamond lattice. Its quantum spin state, along with those of nearby carbon nuclei, can be controlled with light.

10

99.2%

6

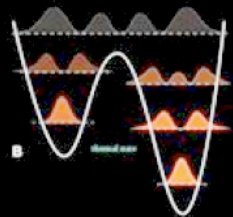
Quantum Diamond Technologies

Can operate at room temperature.

Difficult to entangle.

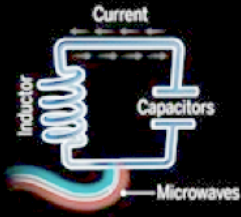
Note: Longevity is the record coherence time for a single qubit superposition state, logic success rate is the highest reported gate fidelity for logic operations on two qubits, and number entangled is the maximum number of qubits entangled and capable of performing two-qubit operations.

Rodzaje kubitów i firmy biorące udział w rozwijaniu danych technologii



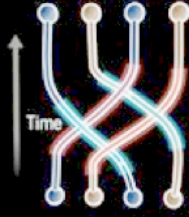
recuit quantique

D-WAVE



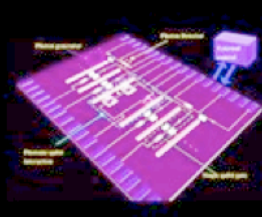
boucles supra-conductrices

IBM
intel Google
QUtech rigetti
UCSB
qci cead
OXFORD QUANTUM
Raytheon



qubits topologiques

Microsoft
NOKIA
TU Delft
QU Tech



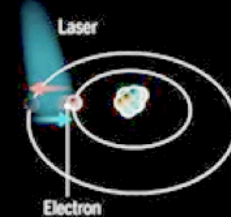
optique linéaire

XANADU
hp
UNIVERSITY OF OXFORD
TUNDRASYSTEMS GLOBAL LTD.



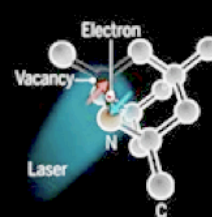
quantum dots silicium

intel
cead
Yale University
NTT
NOKIA



ions piégés

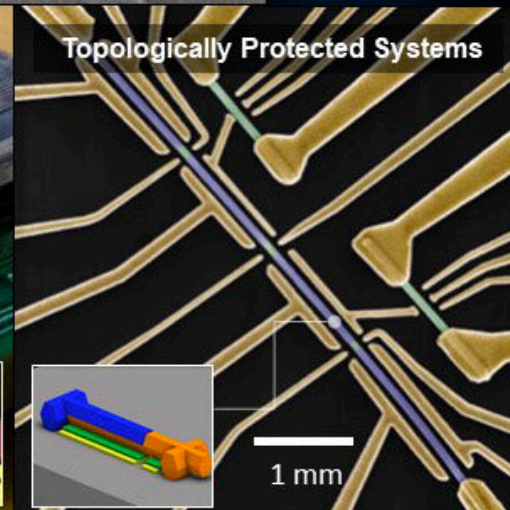
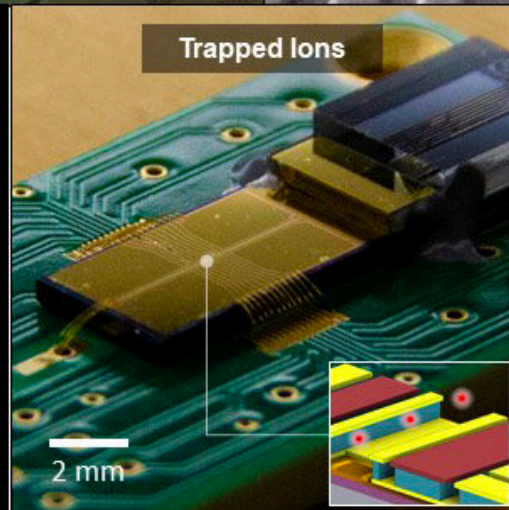
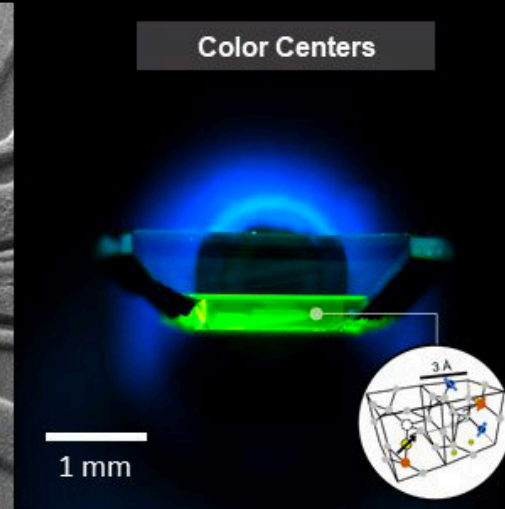
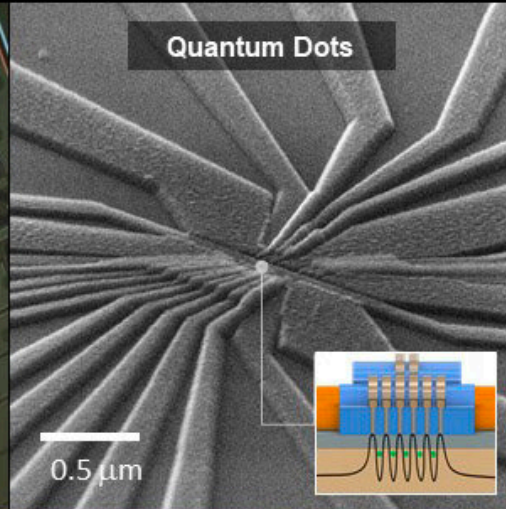
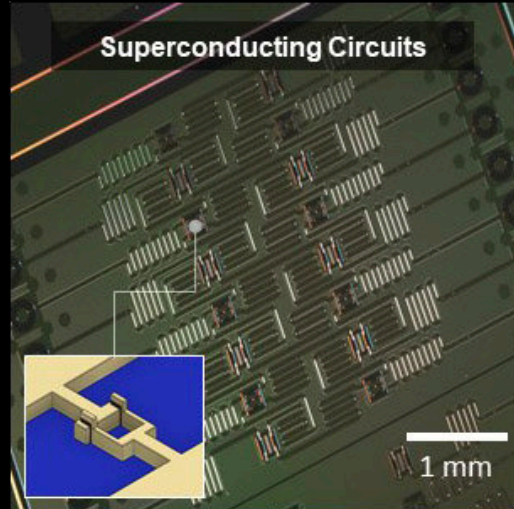
IONQ
MIT
UNIVERSITY OF MARYLAND
Sandia National Laboratories
HARVARD UNIVERSITY
JGU
IQI IQST



cavités diamants

QDTI
cead

Fizyczna implementacja



IBM image
Nathalie P. de Leon et al, Materials challenges and opportunities for quantum computing hardware, Science (2021)

Elektronowe i dziurowe kubity spinowe w kropkach kwantowych - teoria - wkład pracowników WFIS

- **Ultrafast Spin Initialization in a Gated InSb Nanowire Quantum Dot** S. Bednarek, J. Pawłowski, M. Górski, and G. Skowron Phys. Rev. Applied 11, 034012 (2019)
- **All-electric single-electron spin-to-charge conversion**, J. Pawłowski, G. Skowron, M. Górski, and S. Bednarek, Phys. Rev. B 98, 125411 (2018)
- **Valley qubit in a gated MoS2 monolayer quantum dot** J. Pawłowski, D. Żebrowski, and S. Bednarek, Phys. Rev. B 97, 155412 (2018)
- **Spin and valley control in single and double electrostatic silicene quantum dots**, Bartłomiej Szafran and Dariusz Żebrowski, Phys. Rev. B 98, 155305 (2018)
- **Electrical control of a confined electron spin in a silicene quantum dot** Bartłomiej Szafran, Alina Mreńca-Kolasińska, Bartłomiej Rzeszotarski, and Dariusz Żebrowski, Phys. Rev. B 97, 165303 (2018)
- **Electron spin rotations induced by oscillating Rashba interaction in a quantum wire** J. Pawłowski, P. Szumniak, and S. Bednarek, Phys. Rev. B 93, 045309 (2016)
- **Long-distance entanglement of soliton spin qubits in gated nanowires** Paweł Szumniak, Jarosław Pawłowski, Stanisław Bednarek, and Daniel Loss, Phys. Rev. B 92, 035403 (2015)
- **All-electrical control of quantum gates for single heavy-hole spin qubits** P. Szumniak, S. Bednarek, J. Pawłowski, and B. Partoens Phys. Rev. B 87, 195307 (2013)
- and many more ...

$$|0\rangle = \begin{pmatrix} 1 \\ 0 \end{pmatrix}$$

$$|1\rangle = \begin{pmatrix} 0 \\ 1 \end{pmatrix}$$

Notacja Diraca

Notacja

Opis

$$z^* \quad (1+i)^* = (1-i)$$

Sprzężenie zespolone

$$|\psi\rangle = \alpha_0|0\rangle + \alpha_1|1\rangle = \begin{pmatrix} \alpha_0 \\ \alpha_1 \end{pmatrix}$$

Wektor stanu *ket*

$$\langle\psi| = \alpha_0^*\langle 0| + \alpha_1^*\langle 1| = (\alpha_0^* \quad \alpha_1^*)$$

Wektor stanu *bra* $\langle\Psi| = |\Psi\rangle^{*T}$

$$\langle\varphi|\psi\rangle = (\beta_0^*\langle 0| + \beta_1^*\langle 1|)(\alpha_0|0\rangle + \alpha_1|1\rangle) = (\beta_0^* \quad \beta_1^*) \begin{pmatrix} \alpha_0 \\ \alpha_1 \end{pmatrix} = \alpha_0\beta_0^* + \alpha_1\beta_1^*$$

Iloczyn skalarny (rzutowanie)

$$|\varphi\rangle \otimes |\psi\rangle \equiv |\varphi\rangle|\psi\rangle = \begin{pmatrix} \beta_0^* \\ \beta_1^* \end{pmatrix} \begin{pmatrix} \alpha_0 \\ \alpha_1 \end{pmatrix} = \begin{pmatrix} \alpha_0\beta_0^* \\ \alpha_1\beta_0^* \\ \alpha_0\beta_1^* \\ \alpha_1\beta_1^* \end{pmatrix}$$

Iloczyn tensorowy

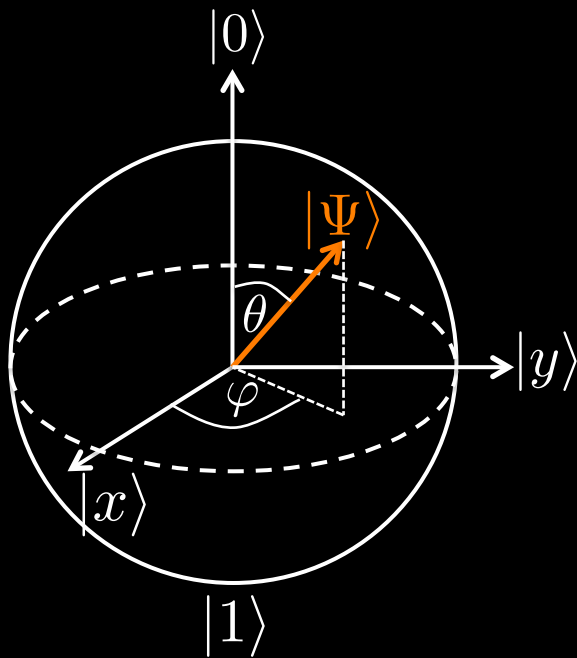
$$\hat{A}^\dagger = \hat{A}^{*T}$$

Sprzężenie Hermitowskie

$$\langle\hat{A}\rangle_{|\Psi\rangle} = \langle\Psi|\hat{A}|\Psi\rangle$$

Wartość oczekiwana

Sfera Blocha – służy do łatwej wizualizacji kubitów i operacji na nich wykonywanych



$$|x\rangle = \frac{1}{2}(|0\rangle + |1\rangle)$$

$$|y\rangle = \frac{1}{2}(|0\rangle + i|1\rangle)$$

$$|\Psi\rangle = \alpha_0|0\rangle + \alpha_1|1\rangle$$

$$|\Psi\rangle = \cos\frac{\theta}{2}|0\rangle + e^{i\varphi}\sin\frac{\theta}{2}|1\rangle$$

$$|\langle 0|\Psi\rangle|^2 = |\alpha_0|^2$$

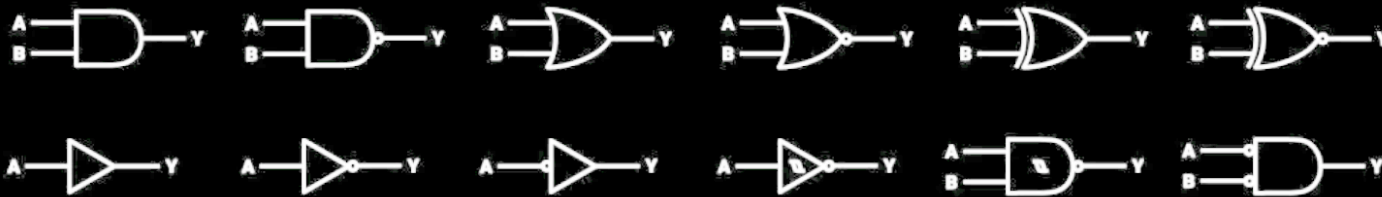
$$|\langle 1|\Psi\rangle|^2 = |\alpha_1|^2$$

$$\langle\Psi|\Psi\rangle = |\alpha_0|^2 + |\alpha_1|^2$$

$$|\alpha_0|^2 + |\alpha_1|^2 = 1$$

Jednokubitowe kwantowe bramki logiczne

Klasyczne bramki logiczne: NOT, AND, NAND, OR, NOR, XOR, ...



Jednokubitowe kwantowe bramki logiczne reprezentowane są przez **liniowy** i **unitarny** operator U (macierz 2×2):

$$U = \begin{pmatrix} a & b \\ c & d \end{pmatrix} \quad UU^\dagger = \begin{pmatrix} a & b \\ c & d \end{pmatrix} \begin{pmatrix} a^* & c^* \\ b^* & d^* \end{pmatrix} = I \quad I = \begin{pmatrix} 1 & 0 \\ 0 & 1 \end{pmatrix}$$

$$\begin{pmatrix} a & b \\ c & d \end{pmatrix} \begin{pmatrix} 1 \\ 0 \end{pmatrix} = a \begin{pmatrix} 1 \\ 0 \end{pmatrix} + b \begin{pmatrix} 0 \\ 1 \end{pmatrix} = \begin{pmatrix} a \\ b \end{pmatrix} \quad U|0\rangle = a|0\rangle + b|1\rangle$$

$$\begin{pmatrix} a & b \\ c & d \end{pmatrix} \begin{pmatrix} 0 \\ 1 \end{pmatrix} = c \begin{pmatrix} 1 \\ 0 \end{pmatrix} + d \begin{pmatrix} 0 \\ 1 \end{pmatrix} = \begin{pmatrix} c \\ d \end{pmatrix} \quad U|1\rangle = c|0\rangle + d|1\rangle$$

Operatory obrotu

$$R_{\vec{n}}(\theta) \equiv \exp\left(-i\vec{n} \cdot \vec{\sigma} \frac{\theta}{2}\right) = I \cos(\theta/2) - i(\vec{n} \cdot \vec{\sigma}) \sin(\theta/2)$$

$$R_x(\theta) = \exp(-iX\theta/2) = \begin{pmatrix} \cos(\theta/2) & -i \sin(\theta/2) \\ -i \sin(\theta/2) & \cos(\theta/2) \end{pmatrix}$$

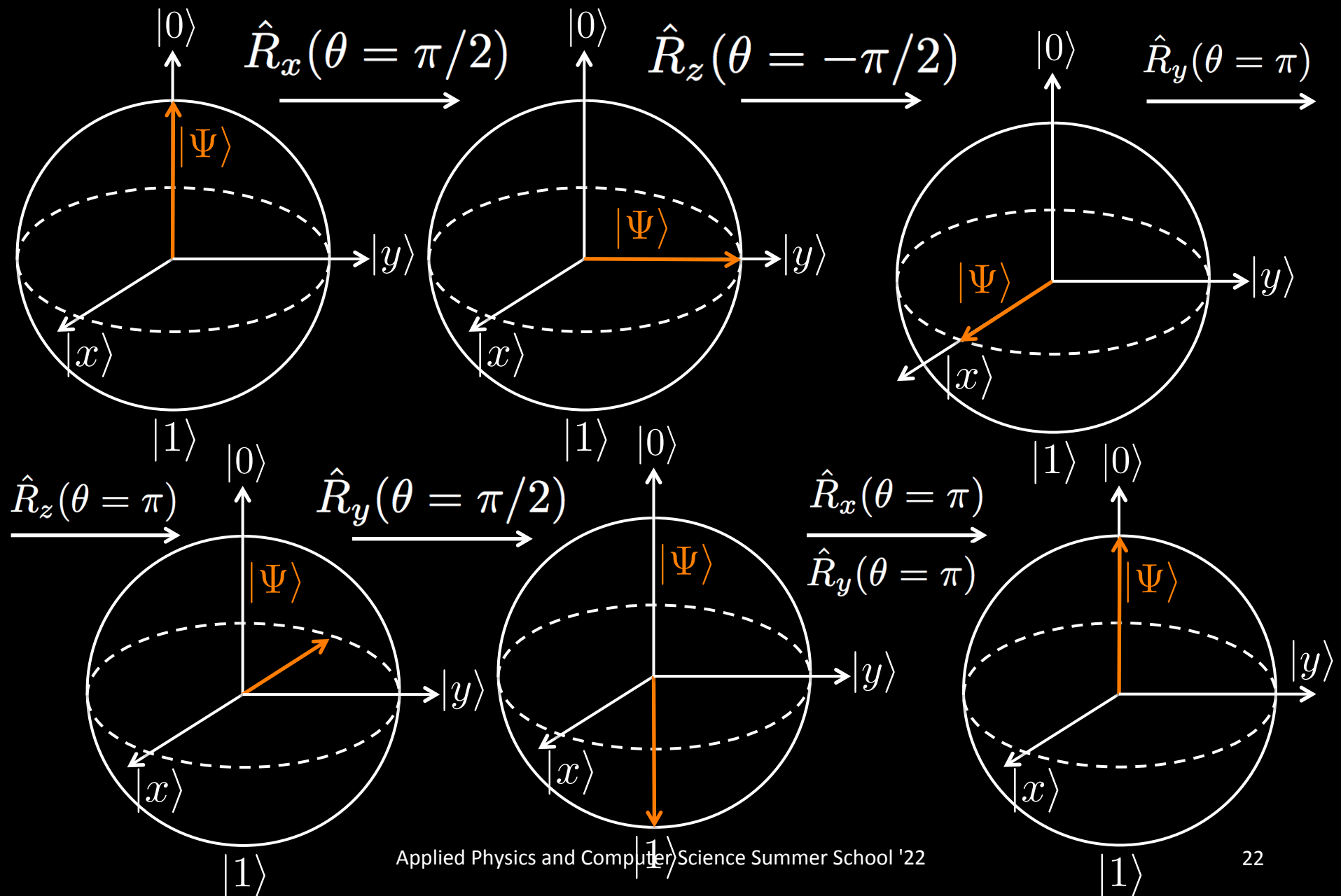
$$R_y(\theta) = \exp(-iY\theta/2) = \begin{pmatrix} \cos(\theta/2) & -\sin(\theta/2) \\ \sin(\theta/2) & \cos(\theta/2) \end{pmatrix}$$

$$R_z(\theta) = \exp(-iZ\theta/2) = \begin{pmatrix} \exp(-i\theta/2) & 0 \\ 0 & \exp(i\theta/2) \end{pmatrix}$$

Wyprowadzenie

$$\begin{aligned} e^{ia(\hat{n}\cdot\vec{\sigma})} &= \sum_{k=0}^{\infty} \frac{i^k [a(\hat{n}\cdot\vec{\sigma})]^k}{k!} \\ &= \sum_{p=0}^{\infty} \frac{(-1)^p (a\hat{n}\cdot\vec{\sigma})^{2p}}{(2p)!} + i \sum_{q=0}^{\infty} \frac{(-1)^q (a\hat{n}\cdot\vec{\sigma})^{2q+1}}{(2q+1)!} \\ &= I \sum_{p=0}^{\infty} \frac{(-1)^p a^{2p}}{(2p)!} + i(\hat{n}\cdot\vec{\sigma}) \sum_{q=0}^{\infty} \frac{(-1)^q a^{2q+1}}{(2q+1)!} \end{aligned}$$

Obroty na sferze Bloch'a przykłady



Przykłady jedno-kubitowych bramek kwantowych stosowanych obliczeniach kwantowych bramki Pauliego, sqrt(NOT)

$$X = \sigma_x = \text{NOT} = \begin{pmatrix} 0 & 1 \\ 1 & 0 \end{pmatrix} \quad R_x(\pi) = -iX$$

$$Y = \sigma_y = \begin{pmatrix} 0 & -i \\ i & 0 \end{pmatrix} \quad R_y(\pi) = -iY$$

$$Z = \sigma_z = \begin{pmatrix} 1 & 0 \\ 0 & -1 \end{pmatrix} \quad R_z(\pi) = -iZ$$

$$\sqrt{X} = \sqrt{\text{NOT}} = \frac{1}{2} \begin{pmatrix} 1+i & 1-i \\ 1-i & 1+i \end{pmatrix} = \frac{1}{\sqrt{2}} \begin{pmatrix} e^{i\pi/4} & e^{-i\pi/4} \\ e^{-i\pi/4} & e^{i\pi/4} \end{pmatrix}$$

$$R_z(\pi/2)$$

Przykłady jednokubitowych bramek kwantowych stosowanych w obliczeniach kwantowych
bramki Pauliego, bramka Hadamarda, sqrt(NOT)

$$X = \sigma_x = \text{NOT} = \begin{pmatrix} 0 & 1 \\ 1 & 0 \end{pmatrix} \quad X(\alpha_0|0\rangle + \alpha_1|1\rangle) = \alpha_1|0\rangle + \alpha_0|1\rangle$$

$$Y = \sigma_y = \begin{pmatrix} 0 & -i \\ i & 0 \end{pmatrix} \quad Y(\alpha_0|0\rangle + \alpha_1|1\rangle) = i(\alpha_1|0\rangle - \alpha_0|1\rangle)$$

$$Z = \sigma_z = \begin{pmatrix} 1 & 0 \\ 0 & -1 \end{pmatrix} \quad Z(\alpha_0|0\rangle + \alpha_1|1\rangle) = \alpha_0|0\rangle - \alpha_1|1\rangle$$

$$\sqrt{X} = \sqrt{\text{NOT}} = \frac{1}{2} \begin{pmatrix} 1+i & 1-i \\ 1-i & 1+i \end{pmatrix} = \frac{1}{\sqrt{2}} \begin{pmatrix} e^{i\pi/4} & e^{-i\pi/4} \\ e^{-i\pi/4} & e^{i\pi/4} \end{pmatrix}$$

Bramka Hadamarda (interferencja konstruktywna i destruktywna)

$$H = \frac{1}{\sqrt{2}} \begin{pmatrix} 1 & 1 \\ 1 & -1 \end{pmatrix}$$

$$H|0\rangle = \frac{1}{\sqrt{2}}(|0\rangle + |1\rangle)$$

$$H|1\rangle = \frac{1}{\sqrt{2}}(|0\rangle - |1\rangle)$$

$$H \frac{1}{\sqrt{2}}(|0\rangle + |1\rangle) =$$

$$H \frac{1}{\sqrt{2}}(|0\rangle - |1\rangle) =$$

$$\frac{1}{2}|0\rangle + \cancel{\frac{1}{2}|1\rangle} + \frac{1}{2}|0\rangle - \cancel{\frac{1}{2}|1\rangle} = |0\rangle$$

$$\cancel{\frac{1}{2}|0\rangle} + \frac{1}{2}|1\rangle - \cancel{\frac{1}{2}|0\rangle} + \frac{1}{2}|1\rangle = |1\rangle$$

Bramki zmiany fazy

$$P(\varphi) = \begin{pmatrix} 1 & 0 \\ 0 & e^{i\varphi} \end{pmatrix} P(\varphi)(\alpha_0|0\rangle + \alpha_1|1\rangle) = \alpha_0|0\rangle + e^{i\varphi}\alpha_1|1\rangle$$

$$S = \begin{pmatrix} 1 & 0 \\ 0 & e^{i\frac{\pi}{2}} \end{pmatrix} = \begin{pmatrix} 1 & 0 \\ 0 & i \end{pmatrix} = P\left(\frac{\pi}{2}\right) = \sqrt{Z}$$

$$T = \begin{pmatrix} 1 & 0 \\ 0 & e^{i\frac{\pi}{4}} \end{pmatrix} = P\left(\frac{\pi}{4}\right) = \sqrt{S} = \sqrt[4]{Z}$$

$$Z = \begin{pmatrix} 1 & 0 \\ 0 & e^{i\pi} \end{pmatrix} = \begin{pmatrix} 1 & 0 \\ 0 & -1 \end{pmatrix} = P(\pi) \quad Z = \sigma_z = \begin{pmatrix} 1 & 0 \\ 0 & -1 \end{pmatrix}$$

Obwód kwantowy – szeregowo połączone bramki

$$|\psi\rangle \text{---} \boxed{Y} \text{---} \boxed{X} \text{---} = \text{---} \boxed{X \cdot Y} \text{---} \quad XY |\psi\rangle$$

$$C = X \cdot Y = \begin{pmatrix} 0 & 1 \\ 1 & 0 \end{pmatrix} \cdot \begin{pmatrix} 0 & -i \\ i & 0 \end{pmatrix} = \begin{pmatrix} i & 0 \\ 0 & -i \end{pmatrix} = iZ$$

Rejestry Kwantowe – Iloczyn tensorowy

$$A = \begin{bmatrix} a_{1,1} & a_{1,2} \\ a_{2,1} & a_{2,2} \end{bmatrix}, \quad B = \begin{bmatrix} b_{1,1} & b_{1,2} \\ b_{2,1} & b_{2,2} \end{bmatrix}$$

$$\begin{bmatrix} a_{1,1} & a_{1,2} \\ a_{2,1} & a_{2,2} \end{bmatrix} \otimes \begin{bmatrix} b_{1,1} & b_{1,2} \\ b_{2,1} & b_{2,2} \end{bmatrix} = \begin{bmatrix} a_{1,1} \begin{bmatrix} b_{1,1} & b_{1,2} \\ b_{2,1} & b_{2,2} \end{bmatrix} & a_{1,2} \begin{bmatrix} b_{1,1} & b_{1,2} \\ b_{2,1} & b_{2,2} \end{bmatrix} \\ a_{2,1} \begin{bmatrix} b_{1,1} & b_{1,2} \\ b_{2,1} & b_{2,2} \end{bmatrix} & a_{2,2} \begin{bmatrix} b_{1,1} & b_{1,2} \\ b_{2,1} & b_{2,2} \end{bmatrix} \end{bmatrix} = \begin{bmatrix} a_{1,1}b_{1,1} & a_{1,1}b_{1,2} & a_{1,2}b_{1,1} & a_{1,2}b_{1,2} \\ a_{1,1}b_{2,1} & a_{1,1}b_{2,2} & a_{1,2}b_{2,1} & a_{1,2}b_{2,2} \\ a_{2,1}b_{1,1} & a_{2,1}b_{1,2} & a_{2,2}b_{1,1} & a_{2,2}b_{1,2} \\ a_{2,1}b_{2,1} & a_{2,1}b_{2,2} & a_{2,2}b_{2,1} & a_{2,2}b_{2,2} \end{bmatrix}$$

Rejestry Kwantowe – stany dwukubitowe

$$|\Psi\rangle = c_0|0\rangle_A|0\rangle_B + c_1|0\rangle_A|1\rangle_B + c_2|1\rangle_A|0\rangle_B + c_3|1\rangle_A|1\rangle_B$$

$$|\Psi\rangle = c_0|00\rangle + c_1|01\rangle + c_2|10\rangle + c_3|11\rangle$$

$$|00\rangle = |0\rangle \otimes |0\rangle = \begin{pmatrix} 1 \\ 0 \\ 0 \\ 0 \end{pmatrix}, \quad |01\rangle = |0\rangle \otimes |1\rangle = \begin{pmatrix} 0 \\ 1 \\ 0 \\ 0 \end{pmatrix}, \quad |10\rangle = |1\rangle \otimes |0\rangle = \begin{pmatrix} 0 \\ 0 \\ 1 \\ 0 \end{pmatrix}, \quad |11\rangle = |1\rangle \otimes |1\rangle = \begin{pmatrix} 0 \\ 0 \\ 0 \\ 1 \end{pmatrix}$$

Rejestry Kwantowe – stany dwukubitowe

$$|\langle 00|\Psi\rangle|^2 = |c_0|^2, \quad |\langle 01|\Psi\rangle|^2 = |c_1|^2, \quad |\langle 10|\Psi\rangle|^2 = |c_2|^2, \quad |\langle 11|\Psi\rangle|^2 = |c_3|^2$$

$$\langle \Psi|\Psi\rangle = |c_0|^2 + |c_1|^2 + |c_2|^2 + |c_3|^2$$

$$P_{|0*\rangle} = |c_0|^2 + |c_1|^2, \quad P_{|1*\rangle} = |c_2|^2 + |c_3|^2, \quad P_{|*0\rangle} = |c_0|^2 + |c_2|^2, \quad P_{|*1\rangle} = |c_1|^2 + |c_3|^2$$

Rejestry Kwantowe – stany N-kubitowe

$$|\Psi\rangle = \alpha_{0\dots 0}|0\dots 0\rangle + \dots + \alpha_{1\dots 1}|1\dots 1\rangle$$

$$|0\rangle^{\otimes N} = |0\dots 0\rangle \quad |1\rangle^{\otimes N} = |1\dots 1\rangle$$

$$|\Psi\rangle = \sum_{j=0}^{2^N-1} \alpha_j |j\rangle = \alpha_0 |0\rangle + \alpha_1 |1\rangle + \dots + \alpha_{2^N-1} |2^N - 1\rangle$$

$$|\alpha_0|^2 + |\alpha_1|^2 + \dots + |\alpha_{2^N-1}|^2 = 1$$

2^N

Rejestry Kwantowe – stany rozkładalne

$$|\Psi\rangle = c_0|00\rangle + c_1|01\rangle + c_2|10\rangle + c_3|11\rangle$$

$$|\Psi_a\rangle = a_0|0\rangle + a_1|1\rangle, \quad |\Psi_b\rangle = b_0|0\rangle + b_1|1\rangle$$

$$|\Psi\rangle \stackrel{?}{=} |\Psi_a\rangle \otimes |\Psi_b\rangle,$$

$$\begin{aligned} |\Psi_a\rangle \otimes |\Psi_b\rangle &= (a_0|0\rangle + a_1|1\rangle) \otimes (b_0|0\rangle + b_1|1\rangle) = \\ &= a_0b_0|00\rangle + a_0b_1|01\rangle + a_1b_0|10\rangle + a_1b_1|11\rangle, \end{aligned}$$

Rejestry kwantowe – stan rozkładalny przykład

$$|\Psi\rangle = \frac{1}{2}(|00\rangle + |01\rangle + |10\rangle + |11\rangle)$$

$$|\Psi\rangle = \frac{1}{\sqrt{2}}(|0\rangle + |1\rangle) \frac{1}{\sqrt{2}}(|0\rangle + |1\rangle)$$

Rejestry kwantowe – stan nierozkładalny – stan splątany – stany Bella

$$|\Phi^+\rangle = \frac{1}{\sqrt{2}}(|0\rangle_A|0\rangle_B + |1\rangle_A|1\rangle_B)$$

$$|\Phi^-\rangle = \frac{1}{\sqrt{2}}(|0\rangle_A|0\rangle_B - |1\rangle_A|1\rangle_B)$$

$$|\Psi^+\rangle = \frac{1}{\sqrt{2}}(|0\rangle_A|1\rangle_B + |1\rangle_A|0\rangle_B)$$

$$|\Psi^-\rangle = \frac{1}{\sqrt{2}}(|0\rangle_A|1\rangle_B - |1\rangle_A|0\rangle_B)$$

Rejestry kwantowe – stan nierozkładalny – stan splątany – stany Bella

$$|\Phi^+\rangle = \frac{1}{\sqrt{2}}(|0\rangle_A|0\rangle_B + |1\rangle_A|1\rangle_B)$$

$$|\Psi_a\rangle_A \otimes |\Psi_b\rangle_B = (a_0|0\rangle_A + a_1|1\rangle_A) \otimes (b_0|0\rangle_B + b_1|1\rangle_B)$$

$$|\Psi_a\rangle_A \otimes |\Psi_b\rangle_B = (a_0b_0|0\rangle_A|0\rangle_B + a_0b_1|0\rangle_A|1\rangle_B + a_1b_0|1\rangle_A|0\rangle_B + a_1b_1|1\rangle_A|1\rangle_B),$$

$$a_0b_0 = \frac{1}{\sqrt{2}}, \quad a_0b_1 = 0, \quad a_1b_0 = 0, \quad a_1b_1 = \frac{1}{\sqrt{2}}$$

Sprzeczny warunek => stan nierozkładalny

Stany splątane konsekwencje fizyczne

$$|\Phi^+\rangle = \frac{1}{\sqrt{2}}(|0\rangle_A|0\rangle_B + |1\rangle_A|1\rangle_B)$$

Pomiar cząstki A, otrzymujemy stan: $|0\rangle$

Pomiar stanu odległej cząstki B, pokaże zawsze, że jest ona w stanie $|0\rangle$

Pomiar cząstki A, otrzymujemy stan: $|1\rangle$

Pomiar stanu odległej cząstki B, pokaże zawsze, że jest ona w stanie $|1\rangle$

Pomiar stanu jednej cząstki A determinuje stan drugiej cząstki B, pomimo, że są one odległej nie oddziałują między sobą

Stany splątane eksperyment 12km

Entanglement of two quantum memories via fibres over dozens of kilometres


[Yong Yu](#), [Fei Ma](#), [Xi-Yu Luo](#), [Bo Jing](#), [Peng-Fei Sun](#), [Ren-Zhou Fang](#), [Chao-Wei Yang](#), [Hui Liu](#), [Ming-Yang Zheng](#), [Xiu-Ping Xie](#), [Wei-Jun Zhang](#), [Li-Xing You](#), [Zhen Wang](#), [Teng-Yun Chen](#), [Qiang Zhang](#) ✉, [Xiao-Hui Bao](#) ✉ & [Jian-Wei Pan](#) ✉

Nature **578**, 240–245 (2020) | [Cite this article](#)

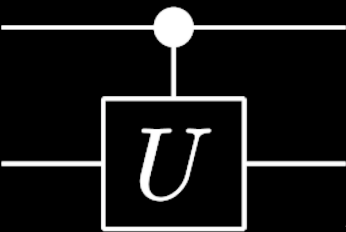
nature



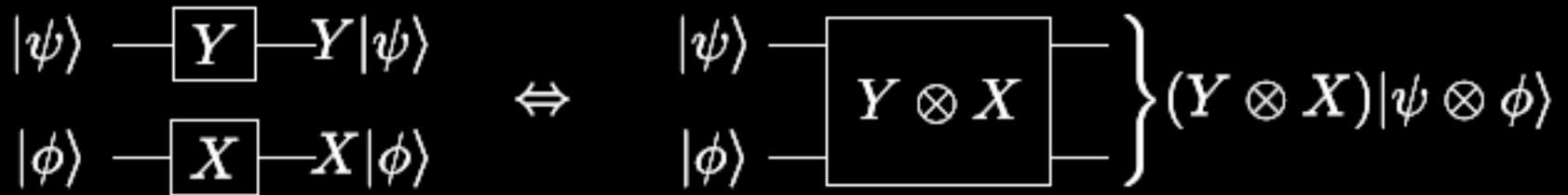
Bramki dwukubitowe - kontrolowane

$$\text{CNOT} = \begin{pmatrix} 1 & 0 & 0 & 0 \\ 0 & 1 & 0 & 0 \\ 0 & 0 & 0 & 1 \\ 0 & 0 & 1 & 0 \end{pmatrix} \quad |a, b\rangle \mapsto |a, a \oplus b\rangle$$


$$\text{C}_U = \begin{pmatrix} 1 & 0 & 0 & 0 \\ 0 & 1 & 0 & 0 \\ 0 & 0 & u_{00} & u_{01} \\ 0 & 0 & u_{10} & u_{11} \end{pmatrix}$$

$$\begin{aligned} |00\rangle &\mapsto |00\rangle \\ |01\rangle &\mapsto |01\rangle \\ |10\rangle &\mapsto |1\rangle \text{C}_U |0\rangle = |1\rangle (u_{00}|0\rangle + u_{01}|1\rangle), \\ |11\rangle &\mapsto |1\rangle \text{C}_U |1\rangle = |1\rangle (u_{10}|0\rangle + u_{11}|1\rangle), \end{aligned}$$


Bramki dwukubitowe – obwody równoległe



$$C = Y \otimes X = \begin{pmatrix} 0 & -i \\ i & 0 \end{pmatrix} \otimes \begin{pmatrix} 0 & 1 \\ 1 & 0 \end{pmatrix} = \begin{pmatrix} 0 \begin{pmatrix} 0 & 1 \\ 1 & 0 \end{pmatrix} & -i \begin{pmatrix} 0 & 1 \\ 1 & 0 \end{pmatrix} \\ i \begin{pmatrix} 0 & 1 \\ 1 & 0 \end{pmatrix} & 0 \begin{pmatrix} 0 & 1 \\ 1 & 0 \end{pmatrix} \end{pmatrix} = \begin{pmatrix} 0 & 0 & 0 & -i \\ 0 & 0 & -i & 0 \\ 0 & i & 0 & 0 \\ i & 0 & 0 & 0 \end{pmatrix}$$

Twierdzenie o nieklonowaniu

Założmy, że istnieje kwantowa maszyna kopiująca:

$$\hat{U}(|\Psi\rangle|0\rangle) = |\Psi\rangle|\Psi\rangle$$

$$|\Psi\rangle = 1/\sqrt{2}(|0\rangle + |1\rangle)$$

$$\hat{U}(|\Psi\rangle|0\rangle) = 1/2(|0\rangle + |1\rangle)(|0\rangle + |1\rangle)$$

Z drugiej strony wykorzystując liniowość operatora U

$$1/\sqrt{2}\hat{U}(|0\rangle + |1\rangle)|0\rangle = 1/\sqrt{2}(\hat{U}|0\rangle|0\rangle + \hat{U}|1\rangle|0\rangle)$$

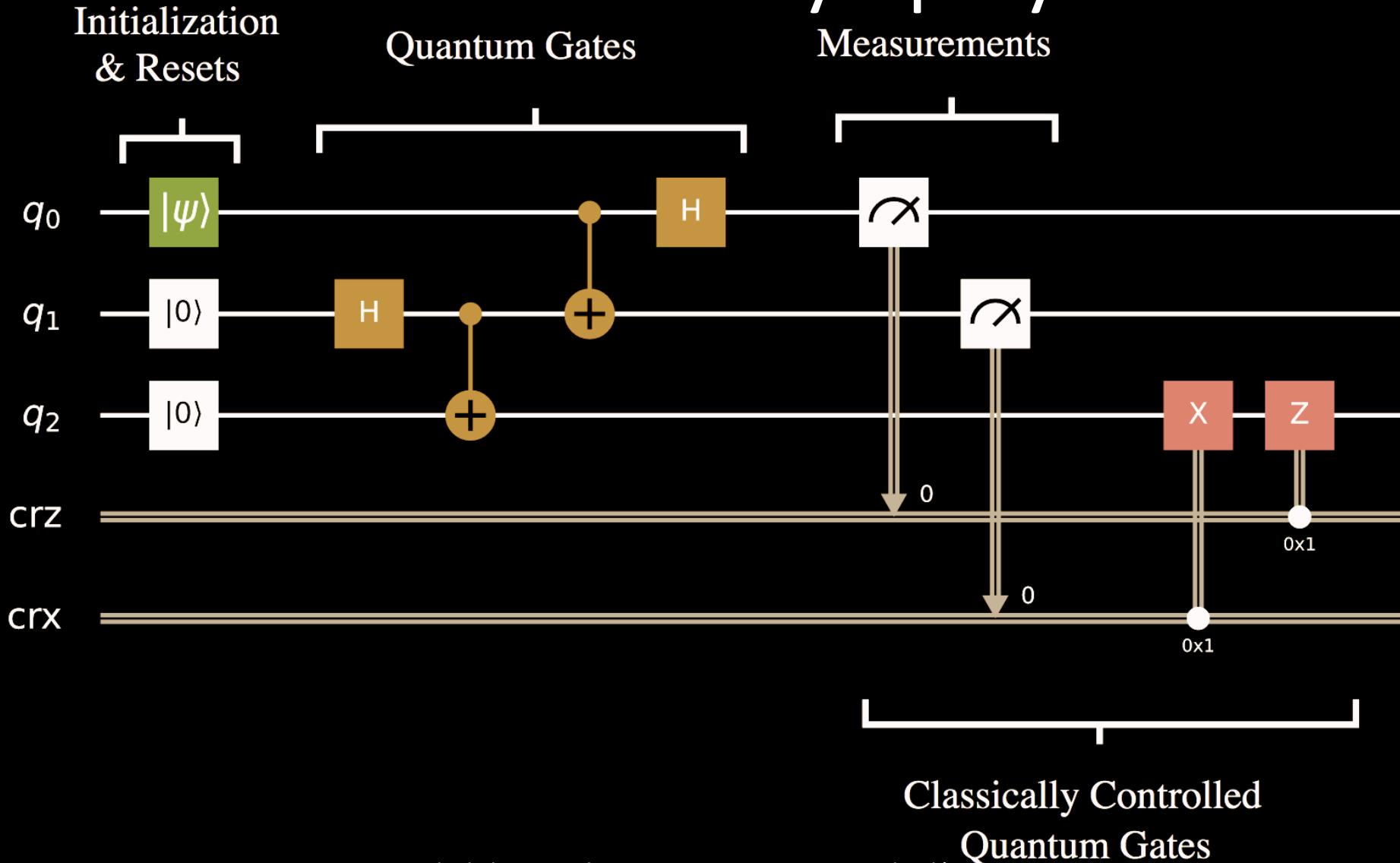
$$1/\sqrt{2}\hat{U}(|0\rangle + |1\rangle)|0\rangle = 1/\sqrt{2}(|0\rangle|0\rangle + |1\rangle|1\rangle)$$



Wojciech Żurek

Sprzeczność!!!

Obwód kwantowy - przykład



Rejestry kwantowe – stan nierozkładalny – stan splątany – stany Bella

$$|\Phi^+\rangle = \frac{1}{\sqrt{2}}(|0\rangle_A|0\rangle_B + |1\rangle_A|1\rangle_B)$$

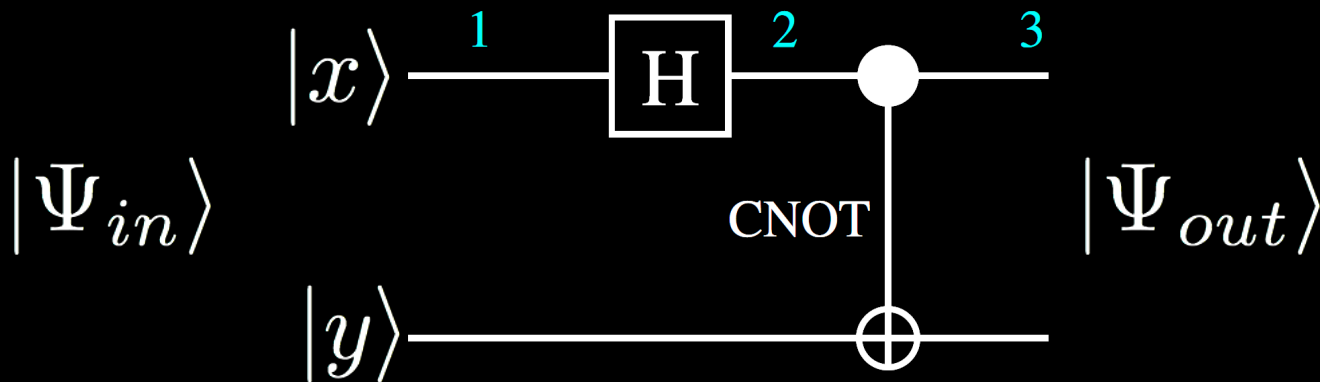
$$|\Phi^-\rangle = \frac{1}{\sqrt{2}}(|0\rangle_A|0\rangle_B - |1\rangle_A|1\rangle_B)$$

$$|\Psi^+\rangle = \frac{1}{\sqrt{2}}(|0\rangle_A|1\rangle_B + |1\rangle_A|0\rangle_B)$$

$$|\Psi^-\rangle = \frac{1}{\sqrt{2}}(|0\rangle_A|1\rangle_B - |1\rangle_A|0\rangle_B)$$

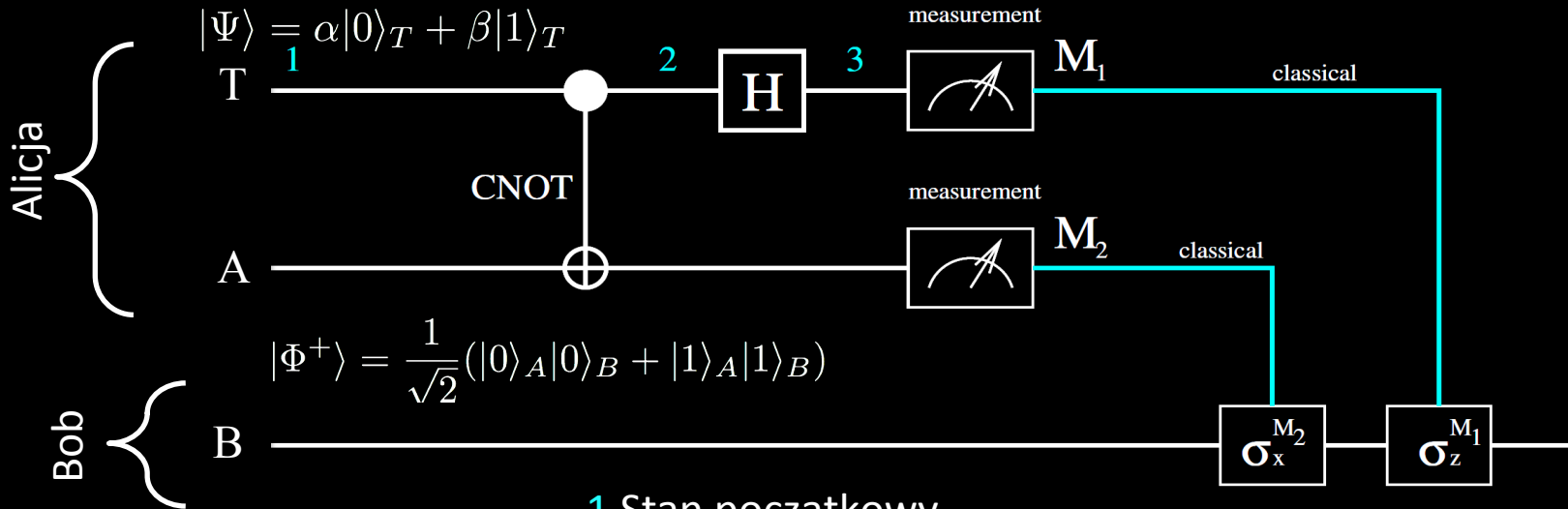
$$|\beta_{xy}\rangle = \frac{1}{\sqrt{2}}(|0y\rangle + (-1)^x|1\bar{y}\rangle)$$

Obwód kwantowy generowanie stanów splatanych



- 1 $|\Psi_{in}\rangle = |xy\rangle = |00\rangle$ $H = \frac{1}{\sqrt{2}} \begin{pmatrix} 1 & 1 \\ 1 & -1 \end{pmatrix}$
- 2 $H \otimes I|00\rangle = H|0\rangle \otimes I|0\rangle = \frac{1}{\sqrt{2}}(|00\rangle + |10\rangle)$
- 3 $|\Psi_{out}\rangle = \text{CNOT} \left[\frac{1}{\sqrt{2}}(|00\rangle + |10\rangle) \right] = \frac{1}{\sqrt{2}}(\text{CNOT}|00\rangle + \text{CNOT}|10\rangle) = \frac{1}{\sqrt{2}}(|00\rangle + |11\rangle)$

Teleportacja Kwantowa



$$|\Psi\rangle|\Phi^+\rangle = \frac{1}{\sqrt{2}}|\Psi\rangle_T(|0\rangle_A|0\rangle_B + |1\rangle_A|1\rangle_B) = \frac{1}{\sqrt{2}}(\alpha|0\rangle_T(|0\rangle_A|0\rangle_B + |1\rangle_A|1\rangle_B) + \beta|1\rangle_T(|0\rangle_A|0\rangle_B + |1\rangle_A|1\rangle_B))$$

2 Działamy bramką CNOT na kubit T i A, gdzie T kubit kontrolujący A kubit docelowy

$$U_{\text{CNOT}} \otimes I(|\Psi\rangle_T|\Phi^+\rangle) = \frac{1}{\sqrt{2}}(\alpha|0\rangle_T(|0\rangle_A|0\rangle_B + |1\rangle_A|1\rangle_B) + \beta|1\rangle_T(|1\rangle_A|0\rangle_B + |0\rangle_A|1\rangle_B))$$

3 Działamy bramką Hadamarda na kubit T

$$U_{\text{CNOT}} \otimes I(|\Psi\rangle_T|\Phi^+\rangle) = \frac{1}{2}((\alpha|0\rangle_T + \alpha|1\rangle_T)(|0\rangle_A|0\rangle_B + |1\rangle_A|1\rangle_B) + \beta(\alpha|0\rangle_T - \alpha|1\rangle_T)(|1\rangle_A|0\rangle_B + |0\rangle_A|1\rangle_B))$$

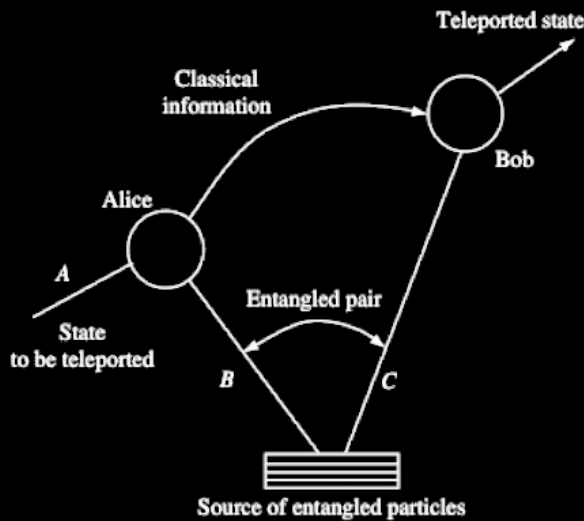
Teleportacja Kwantowa cd

$$|\Psi_{out}\rangle_{TAB} = \frac{1}{2} \left(\alpha|0\rangle_T|0\rangle_A|0\rangle_B + \alpha|0\rangle_T|1\rangle_A|1\rangle_B + \alpha|1\rangle_T|0\rangle_A|0\rangle_B + \alpha|1\rangle_T|1\rangle_A|1\rangle_B \right. \\ \left. + \beta|0\rangle_T|1\rangle_A|0\rangle_B + \beta|0\rangle_T|0\rangle_A|1\rangle_B - \beta|1\rangle_T|1\rangle_A|0\rangle_B - \beta|1\rangle_T|0\rangle_A|1\rangle_B \right)$$

Grupujemy stany należące do Alicji (T, A) i do Boba (B):

$$|\Psi_{out}\rangle_{TAB} = \frac{1}{2}|0\rangle_T|0\rangle_A(\alpha|0\rangle_B + \beta|1\rangle_B) \\ + \frac{1}{2}|0\rangle_T|1\rangle_A(\beta|0\rangle_B + \alpha|1\rangle_B) \\ + \frac{1}{2}|1\rangle_T|0\rangle_A(\alpha|0\rangle_B - \beta|1\rangle_B) \\ + \frac{1}{2}|1\rangle_T|1\rangle_A(-\beta|0\rangle_B + \alpha|1\rangle_B)$$

Teleportacja Kwantowa cd



$$\begin{aligned}
 |\Psi_{out}\rangle_{TAB} = & \frac{1}{2}|0\rangle_T|0\rangle_A(\alpha|0\rangle_B + \beta|1\rangle_B) \\
 & + \frac{1}{2}|0\rangle_T|1\rangle_A(\beta|0\rangle_B + \alpha|1\rangle_B) \\
 & + \frac{1}{2}|1\rangle_T|0\rangle_A(\alpha|0\rangle_B - \beta|1\rangle_B) \\
 & + \frac{1}{2}|1\rangle_T|1\rangle_A(-\beta|0\rangle_B + \alpha|1\rangle_B)
 \end{aligned}$$

Pomiar Alicji w bazie stanów $\{|00\rangle, |01\rangle, |10\rangle, |11\rangle\}$:
tzw pomiar Bella



Bob zależności od rezultatu otrzymanego przez Alicję wykonuje odpowiednią operację aby otrzymać stan identyczny do teleportowanego

$$\begin{aligned}
 |0\rangle_T|0\rangle_A & \longrightarrow I \\
 |0\rangle_T|1\rangle_A & \longrightarrow R_x(\pi) = \exp(-i\frac{\pi\sigma_x}{2}) = -iX \\
 |1\rangle_T|0\rangle_A & \longrightarrow R_z(\pi) = \exp(-i\frac{\pi\sigma_z}{2}) = -iZ \\
 |1\rangle_T|1\rangle_A & \longrightarrow R_y(\pi) = \exp(-i\frac{\pi\sigma_y}{2}) = -iY
 \end{aligned}$$

Teleportacja Kwantowa uwagi końcowe

$$|0\rangle_T |0\rangle_A \longmapsto I$$

$$|0\rangle_T |1\rangle_A \longmapsto R_x(\pi) = \exp(-i\frac{\pi\sigma_x}{2}) = -iX$$

$$|1\rangle_T |0\rangle_A \longmapsto R_z(\pi) = \exp(-i\frac{\pi\sigma_z}{2}) = -iZ$$

$$|1\rangle_T |1\rangle_A \longmapsto R_y(\pi) = \exp(-i\frac{\pi\sigma_y}{2}) = -iY$$

$$I(\alpha|0\rangle_B + \beta|1\rangle_B) = (\alpha|0\rangle_B + \beta|1\rangle_B)$$

$$R_x(\pi)(\beta|0\rangle_B + \alpha|1\rangle_B) = -i(\alpha|0\rangle_B + \beta|1\rangle_B)$$

$$R_z(\pi)(\alpha|0\rangle_B - \beta|1\rangle_B) = -i(\alpha|0\rangle_B + \beta|1\rangle_B)$$

$$R_y(\pi)(-\beta|0\rangle_B + \alpha|1\rangle_B) = -(\alpha|0\rangle_B + \beta|1\rangle_B)$$

Teleportacja Kwantowa uwagi końcowe

Nie można teleportować materii, tylko stany kwantowe
Teleportacja nigdy nie jest związana z transportem materii

Nie ma natychmiastowej transmisji informacji. Alicja musi poinformować Bob'a klasycznym kanałem o wyniku pomiaru na swoich stanach kwantowych. Wtedy dopiero Bob będzie wiedział jaką operację powinien wykonać na swoim stanie. Po wykonaniu tej operacji będzie miał stan identyczny jak ten, który Alicja mu przesyłała na początku.

Teleportacja Kwantowa eksperyment:

Teleportation Systems Toward a Quantum Internet

Raju Valivarthi^{1,2}, Samantha I. Davis^{1,2}, Cristián Peña^{1,2,3}, Si Xie^{1,2}, Nikolai Lauk^{1,2},
Lautaro Narváez^{1,2}, Jason P. Allmaras⁴, Andrew D. Beyer⁴, Yewon Gim^{2,5}, Meraj Hussein²,
George Iskander¹, Hyunseong Linus Kim^{1,2}, Boris Korzh⁴, Andrew Mueller¹, Mandy Rominsky³,
Matthew Shaw⁴, Dawn Tang^{1,2}, Emma E. Wollman⁴, Christoph Simon⁶, Panagiotis Spentzouris³,
Daniel Oblak⁶, Neil Sinclair^{1,2,7} and Maria Spiropulu^{1,2,*}

¹*Division of Physics, Mathematics and Astronomy, California Institute of Technology, Pasadena, California 91125, USA*

²*Alliance for Quantum Technologies (AQT), California Institute of Technology, Pasadena, California 91125, USA*

³*Fermi National Accelerator Laboratory, Batavia, Illinois 60510, USA*

⁴*Jet Propulsion Laboratory, California Institute of Technology, Pasadena, California 91109, USA*

⁵*AT&T Foundry, Palo Alto, California 94301, USA*

⁶*Institute for Quantum Science and Technology, and Department of Physics and Astronomy, University of Calgary, Calgary, Alberta T2N 1N4, Canada*

⁷*John A. Paulson School of Engineering and Applied Sciences, Harvard University, Cambridge, Massachusetts 02138, USA*



(Received 28 July 2020; accepted 16 October 2020; published 4 December 2020; corrected 22 July 2021)

Quantum teleportation is essential for many quantum information technologies, including long-distance quantum networks. Using fiber-coupled devices, including state-of-the-art low-noise superconducting nanowire single-photon detectors and off-the-shelf optics, we achieve conditional quantum teleportation of time-bin qubits at the telecommunication wavelength of 1536.5 nm. We measure teleportation fidelities of $\geq 90\%$ that are consistent with an analytical model of our system, which includes realistic imperfections. To demonstrate the compatibility of our setup with deployed quantum networks, we teleport qubits over 22 km of single-mode fiber while transmitting qubits over an additional 22 km of fiber. Our systems, which are compatible with emerging solid-state quantum devices, provide a realistic foundation for a high-fidelity quantum Internet with practical devices.

Algorytmy kwantowe

Za pomocą zestawu uniwersalnych jedno i dwu-kubitowych kwantowych bramek logicznych można zrealizować dowolny algorytm kwantowy

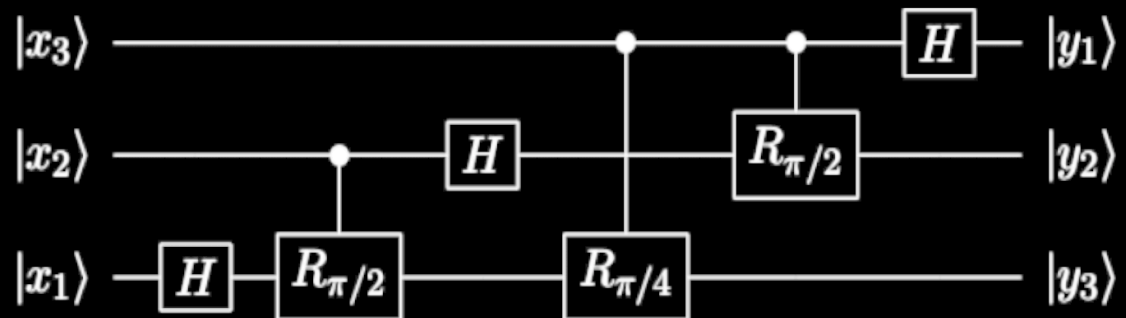
<https://quantumalgorithmzoo.org/>

Algorytmy bazujące na **kwantowej transformacie Fouriera(QFT)**:

- algorytm Deutscha-Jozsy (odróżniania funkcji zrównoważonej od stałej)
- **algorytm Shora** (faktoryzacji, czyli rozkładu liczb na czynniki pierwsze)
- Algorytm Simona
- ...

Algorytmy bazujące na **wzmocnieniu amplitudy prawdopodobieństwa**

- **algorytm Grovera** (przeszukiwanie baz danych)
- ...



Literatura

- M.A. Nielsen, I.L. Chuang, „Quantum computation and quantum information” (Cambridge University Press, 2000)
- M. Le Bellac, “A Short Introduction to Quantum Information and Quantum Computation” (Cambridge University Press, 2006)
- IBM Quantum team, Introduction to Quantum Computing and Quantum Hardware (2020). <https://qiskit.org/textbook/preface.html>
- John Preskill:
http://theory.caltech.edu/~preskill/ph219/ph219_2021-22.html
https://www.youtube.com/playlist?list=PL0ojjrEqlyPy-1RRD8cTD_IF1hflo89lu
- Quantum Computing: Lecture Notes Ronald de Wolf (QuSoft, CWI and University of Amsterdam), <https://arxiv.org/abs/1907.09415>

Dziękuję za uwagę



Rzeczpospolita
Polska



Fundacja na rzecz
Nauki Polskiej

Unia Europejska
Europejski Fundusz
Rozwoju Regionalnego



Financial support within POIR.04.04.00-00-5CE6/18 project carried out within the HOMING programme of the Foundation for Polish Science co-financed by the European Union under the European Regional Development Fund